

- учет влияния продольных деформаций при определении параметров НДС зависит от выбора варианта основной системы метода сил;
- учет влияния продольных деформаций при определении параметров НДС практически не зависит от вида нагружения.

## ЛИТЕРАТУРА

1. Бернштейн, С.А. Основы расчета статически неопределимых систем / С.А. Бернштейн. – М.: Стройиздат, 1936. – 223 с.
2. Рабинович, И.М. Курс строительной механики / И.М. Рабинович. – М.: Стройиздат, 1954. – Ч. 2: Статически неопределимые системы. – 543 с.
3. Киселев, В.А. Строительная механика / В.А. Киселев. – М.: Стройиздат, 1986. – 520 с.

УДК 624.072

**О ВЛИЯНИИ ВЫБОРА ВАРИАНТА  
ОСНОВНОЙ СИСТЕМЫ МЕТОДА СИЛ ДЛЯ БЕСШАРНИРНОЙ АРКИ  
НА УСТОЙЧИВОСТЬ РЕШЕНИЯ КАНОНИЧЕСКИХ УРАВНЕНИЙ**

Р.А. РАДКЕВИЧ

(Представлено: канд. техн. наук, доц. Л.С. ТУРИЩЕВ)

*Исследуется зависимость результатов расчета бесшарнирной арки методом сил от вариаций коэффициентов и свободных членов канонических уравнений вследствие неизбежных отличий параметров реальных арок от параметров их расчетных схем, возникающими как при возведении, так и в ходе эксплуатации арок конструкций. Установлено, что устойчивость решения канонических уравнений вследствие вариаций коэффициентов и свободных членов существенным образом зависит от выбранного варианта основной системы.*

Классическим методом расчета бесшарнирной арки, являющейся три раза статически неопределимой системой, является метод сил.

Канонические уравнения метода сил для бесшарнирной арки имеют вид

$$\begin{aligned}\delta_{11}X_1 + \delta_{12}X_2 + \delta_{13}X_3 + \Delta_{1P} &= 0; \\ \delta_{21}X_1 + \delta_{22}X_2 + \delta_{23}X_3 + \Delta_{2P} &= 0; \\ \delta_{31}X_1 + \delta_{32}X_2 + \delta_{33}X_3 + \Delta_{3P} &= 0\end{aligned}\tag{1}$$

и представляют собой систему линейных неоднородных алгебраических уравнений (СЛАУ).

Важной проблемой, возникающей при решении канонических уравнений, является устойчивость решений уравнений, то есть их зависимость от вариаций коэффициентов и свободных членов. Такие вариации при расчете бесшарнирной арки могут возникать вследствие неизбежных отличий реальных параметров арки при ее возведении и их последующих изменений в ходе эксплуатации по сравнению с параметрами расчетной схемы, использованной при проектировании конструкции.

Оценка устойчивости решений канонических уравнений метода сил принято производить с помощью числа обусловленности [1]

$$\mu = |\tilde{D}(\delta)|,\tag{2}$$

являющегося нормированным определителем матрицы коэффициентов (1).

Считается, что если

$$0,05 \leq \mu \leq 1,$$

то решения канонических уравнений метода сил устойчивы.

Однако в работе [2] на примере расчета рамной конструкции методом сил, взятом из учебника В.И. Федосьева [3], показано, что, несмотря на значение числа обусловленности, свидетельствующего об

устойчивости решений канонических уравнений, при определенном сочетании знаков вариаций коэффициентов и свободных членов, решения становятся неустойчивыми.

Оценивается устойчивость решений уравнений (1) с использованием числа обусловленности (2) и методики, предложенной в [2]. Рассматривается бесшарнирная арка кругового очертания с постоянным симметричным поперечным сечением. Арка нагружена по длине пролета равномерно-распределенной нагрузкой (рис. 1).

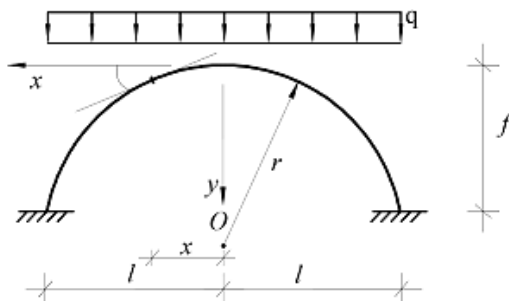


Рис. 1. Бесшарнирная арка

При расчете арки методом сил используются три варианта основной системы – трехшарнирная арка, кривой брус с балочной схемой опирания и кривой брус с консольной схемой опирания. Канонические уравнения метода сил для всех трех вариантов имеют вид (1).

В случае использования первого варианта основной системы канонические уравнения (1) с учетом полученных безразмерных значений для коэффициентов и свободных членов принимают вид

$$\begin{aligned} 5,13X_1 + 2,14X_2 - 1,34X_3 &= 0,12; \\ 2,14X_1 + 13,85X_2 + 2,14X_3 &= 0,31; \\ -1,34X_1 + 2,14X_2 + 5,13X_3 &= 0,12. \end{aligned} \quad (3)$$

Решая (3), найдем следующие значения основных неизвестных:

$$X_1 = 0,022, \quad X_2 = 0,015, \quad X_3 = 0,022,$$

которые являются безразмерными значениями изгибающих моментов в опорных сечениях ( $X_1$ ,  $X_3$ ) и замковом сечении ( $X_2$ ).

Число обусловленности системы уравнений (3) равняется

$$\mu = 0,351,$$

что свидетельствует об устойчивости полученных решений.

Проверим устойчивость значения опорного момента  $X_3$  согласно [2].

Используя формулы Крамера, запишем основное неизвестное в виде

$$X_3 = \frac{D_3}{D}.$$

Наиболее неблагоприятное сочетание знаков вариаций элементов определителей  $D_3$  и  $D$ , согласно [2], соответствует таблице

$$\begin{vmatrix} + & - & + \\ - & + & - \\ - & + & - \end{vmatrix}.$$

Основными причинами вариаций коэффициентов и свободных членов канонических уравнений метода сил могут быть отклонения геометрических размеров реальных конструкций от их проектных значений, разброс и изменение механических характеристик конструкционных материалов, отличия внешних нагрузок от их расчетных значений. Следовательно, они оказывают одинаковое влияние на вариации величин коэффициентов и свободных членов и можно принять модуль этих вариаций одинаковым.

Тогда определитель  $D_3$  и  $D$  с учетом возможных одинаковых по модулю вариаций его элементов, принимают вид

$$D_3(\varepsilon) = \begin{vmatrix} 5,13 \cdot (1+\varepsilon) & 2,14 \cdot (1-\varepsilon) & 0,12 \cdot (1+\varepsilon) \\ 2,14 \cdot (1-\varepsilon) & 16 \cdot (1+\varepsilon) & 0,31 \cdot (1-\varepsilon) \\ -1,34 \cdot (1-\varepsilon) & 2,14 \cdot (1+\varepsilon) & 0,12 \cdot (1-\varepsilon) \end{vmatrix};$$

$$D_3(\varepsilon) = \begin{vmatrix} 5,13 \cdot (1+\varepsilon) & 2,14 \cdot (1-\varepsilon) & -1,34 \cdot (1+\varepsilon) \\ 2,14 \cdot (1-\varepsilon) & 16 \cdot (1+\varepsilon) & 2,14 \cdot (1-\varepsilon) \\ -1,34 \cdot (1-\varepsilon) & 2,14 \cdot (1+\varepsilon) & 5,13 \cdot (1-\varepsilon) \end{vmatrix}.$$

Рассматривая основное неизвестное  $X_3$  как функцию от вариации  $\varepsilon$ , получим график изменения его величины при значениях вариации величин его элементов, не превышающих 1 % (рис. 2).

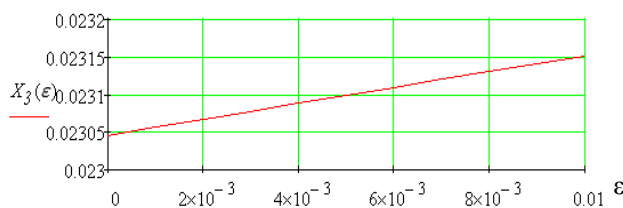


Рис. 2. Зависимость величины  $X_3$  от вариации  $\varepsilon$  для первого варианта основной системы

Из приведенного графика видно, что величина опорного момента  $X_3$  не претерпевает существенных изменений по величине. Изменение величины опорного момента при вариации коэффициентов и свободных членов в 1 % составляет

$$\frac{X_3(0,01) - X_3(0)}{X_3(0)} \cdot 100 \% = 0,457 \%$$

Сделаем аналогичный анализ изменения величины опорного момента  $X_3$  при расчете арки методом сил с применением двух других вариантов основной системы.

При использовании второго варианта основной системы канонические уравнения метода сил принимают вид

$$\begin{aligned} 13,85X_1 + 9,06X_2 + 9,06X_3 &= -6,62; \\ 9,06X_1 + 10,73X_2 + 4,27X_3 &= -4,26; \\ 9,06X_1 + 4,27X_2 + 10,73X_3 &= -4,26. \end{aligned} \quad (4)$$

Решая (4), найдем следующие значения основных неизвестных

$$X_1 = -0,513, \quad X_2 = 0,022, \quad X_3 = 0,022,$$

которые являются безразмерными значениями распора арки ( $X_1$ ) и изгибающих моментов в опорных сечениях ( $X_2$ ,  $X_3$ ) и замковом сечении.

Число обусловленности системы уравнений (3) равняется

$$\mu = 0,065,$$

что свидетельствует об устойчивости полученных решений.

График функциональной зависимости величины опорного момента  $X_3$  от вариации  $\varepsilon$  для второго варианта основной системы метода сил представлен на рисунке 3, из которого видно, что в отличие от первого варианта величина опорного момента уменьшается при увеличении вариации  $\varepsilon$ , а изменение его величины при вариации коэффициентов и свободных членов в 1 % составляет

$$\frac{X_3(0,01) - X_3(0)}{X_3(0)} \cdot 100 \% = 6,877 \%,$$

что свидетельствует о неустойчивости значения опорного момента  $X_3$ .

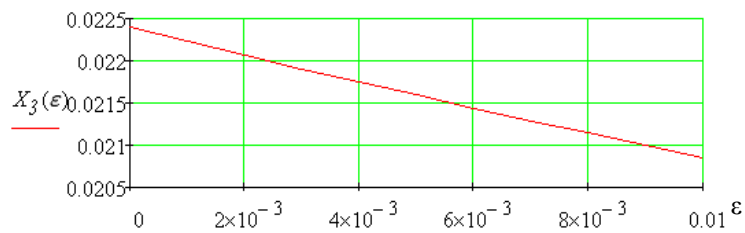


Рис. 3. Зависимость величины  $X_3$  от вариации  $\varepsilon$  для второго варианта основной системы

При расчете арки с использованием третьего варианта основной системы метода сил канонические уравнения метода сил имеют вид

$$\begin{aligned} 13,85X_1 + 18,13X_2 + 18,13X_3 &= 11,51; \\ 18,13X_1 + 42,93X_2 + 29,98X_3 &= 34,39; \\ 18,13X_1 + 29,98X_2 + 29,98X_3 &= 21,45. \end{aligned} \quad (5)$$

Решая (5), найдем следующие значения основных неизвестных:

$$X_1 = -0,506, \quad X_2 = 1, \quad X_3 = 0,022,$$

которые являются безразмерными значениями распора арки ( $X_1$ ), вертикальных опорных реакций ( $X_2$ ) и опорного изгибающего момента ( $X_3$ ).

Число обусловленности системы уравнений (3) равняется

$$\mu = 0,059,$$

что свидетельствует об устойчивости полученных решений.

График функциональной зависимости величины опорного момента  $X_3$  от вариации  $\varepsilon$  для третьего варианта основной системы метода сил представлен на рисунке 4.

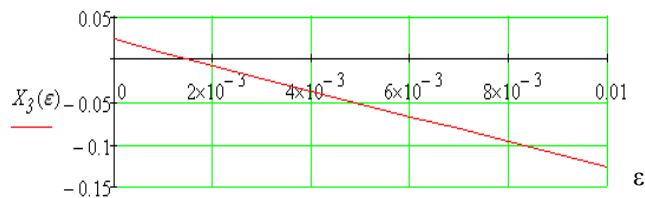


Рис. 4. Зависимость величины  $X_3$  от вариации  $\varepsilon$  для третьего варианта основной системы

Из приведенных графиков видно, что величина опорного момента  $X_3$  может претерпевать существенные изменения как по величине, так и по знаку. Это свидетельствует о неустойчивости значения опорного момента  $X_3$ .

Таким образом, при расчете бесшарнирной арки методом сил устойчивость решения канонических уравнений зависит от выбора варианта основной системы. Величины основных неизвестных могут претерпевать как существенные количественные, так и качественные изменения при незначительных вариациях коэффициентов и свободных членов канонических уравнений.

#### ЛИТЕРАТУРА

1. Филин, А.П. Матрицы в статике стержневых систем / А.П. Филин. – М.: Стройиздат, 1966. – 438 с.
2. Петров, Ю.П. Как получать надежные решения систем уравнений / Ю.П. Петров. – СПб.: БХВ-Петербург, 2012. – 176 с.
3. Феодосьев, В.И. Сопротивление материалов / В.И. Феодосьев. – М.: Наука, 1979. – 559 с.